

II-19 任意形状を有する河道弯曲部における流れの数値計算

北大工 正 藤 〇森 明 巨  
 ・ ・ 岸 力  
 ・ 学生員 吉 岡 正 人  
 ・ ・ 境 恭 宏  
 ・ ・ 太 田 道 男

1. 概要

1980年 Kalkwijk と Vriend<sup>1)</sup> は河道弯曲部流れに関する1数値計算法を提案した。(以下、略してKV法と呼ぶ) 本報告は、この方法を用いて、1. 河道側壁が直立の流れ、2. 河中で変化する流れ、を解き実測値と比較し、同法の適合性を検討したものである。1. については、二次流の強度の空間分布を考慮すると実験結果が良く説明できることがわかった。2. については、河道形の急変する所では、実測値と計算値の違いが大きいが、存続らかに変化する所では両者の一致が良好であることがわかった。

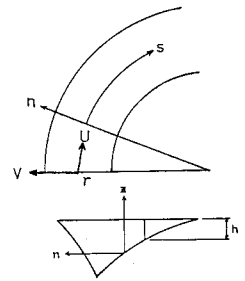


図-1

2. Kalkwijk と Vriend 理論の概要

図-1に示す様に河道中心線に沿ってS軸を取り、これに直角方向にn軸を取り、z軸を河床を原点に鉛直上を正に取る。図において、U、VはそれぞれS方向及びn方向の流速である。流れの連続の式及びS、n方向の運動方程式を河床から水面まで積分したものを(1)~(3)式で与える。

$$\frac{\partial h \bar{U}}{\partial S} + \frac{\partial h \bar{V}}{\partial n} + \frac{h \bar{U}}{r} = 0 \quad (1)$$

$$\frac{\partial h \bar{U}}{\partial S} + \frac{\partial h \bar{U} \bar{V}}{\partial n} + z \frac{h \bar{U} \bar{V}}{r} + \frac{h}{P} \frac{\partial P}{\partial S} + \frac{\tau_s}{f} = 0 \quad (2)$$

$$-\frac{\bar{U}^2}{r} + \frac{1}{P} \frac{\partial P}{\partial n} = 0 \quad (3)$$

ここで、P: 圧力、 $\tau_s$ : S方向の河床せん断力であり、 $\bar{\quad}$ は水深方向の平均値を表わす。

(2)式における $\bar{U} \bar{V}$ を次の様に与える。U、Vを(4)、(5)式で近似する。(5)式右辺の2項は、一様曲率の広矩形水路におけるVであり、 $f_1$ は摩擦則を仮定する。 $f_1 \approx 1$ とすると(6)式が得られる。

$$U \approx \bar{U} f_1 \left( \frac{x}{h} \right) \quad (4)$$

$$V \approx \bar{V} f_1 \left( \frac{x}{h} \right) + \frac{\bar{U} h}{r} f_2 \left( \frac{x}{h} \right) \quad (5)$$

$$\bar{U} \bar{V} = \bar{U} \bar{V} + K \frac{\bar{U}^2 h}{r} \quad (6)$$

ここで、 $K = \bar{f}_1 \bar{f}_2 = 5/\kappa \varphi_0 - 15.6/(\kappa \varphi_0)^2 + 37.5/(\kappa \varphi_0)^3 \quad (7)$

Kはカルマン常数であり、 $\varphi_0 = \bar{U} / U_*$ 、 $U_*$ ：摩擦速度である。図-2はKと $\varphi_0$ の関係を図示したものである。  
 (6)式を(2)式に代入すると(8)式が得られる。

$$\bar{U} \frac{\partial \bar{U}}{\partial S} + V \frac{\partial \bar{U}}{\partial n} + \frac{\bar{U} \bar{V}}{r} + \frac{1}{h} \frac{\partial}{\partial n} \left( \frac{K \bar{U}^2 h^2}{r} \right) + ZK \frac{\bar{U}^2 h}{r^2} + \frac{1}{P} \frac{\partial P}{\partial S} + \frac{\bar{U}^2}{\varphi_0^2 h} = 0 \quad (8)$$

特性帯の理論を用いると(3)、(8)式は次の関係におき換えられる。

特性曲線  $\frac{dn}{dS} = ZK \frac{h}{r}$  の上で

$$\frac{d}{dS} \left( \frac{P}{r} + \frac{\bar{U}^2}{Z} \right) = - \frac{\bar{U}^2}{h \varphi_0^2} - \frac{\bar{U}^2}{h} \frac{\partial}{\partial n} \left( K \frac{h^2}{r} \right) - \left[ \bar{V} \frac{\partial \bar{U}}{\partial n} + \frac{\bar{U} \bar{V}}{r} \right] \quad (9)$$

(1)、(3)、(9)式を基礎方程式として次の手順で流れの数値解を求め、  
 $h/r \ll 1$ として特性曲線をS軸で近似する。(9)式をnで偏微分し、  
 $\partial P / \partial n$ に(3)式を代入し、得られた式を差分化する。この差分式を流量の連続式

$$\int_{\text{up}} h \bar{U} dn = Q \quad (10)$$

を用いてあるSでの $\bar{U}$ を求める。この計算を上流から下流に向かって行う。次に圧力に静水圧を仮定し、(3)式より水位を求め、(1)式よりVを求め、

Kalkwijk & Vriendは、運動量の横断方向への輸送が弯曲流に果たす役割を重視したが、これを考慮すると運動方程式は近似的にしか解けない。彼らは、 $U$ 、 $V$ を(4)、(5)式で近似することにより問題を解いているがこれが成立するための条件として次の諸点をあげている。

1. 川中  $B \gg h$ 、2.  $r \gg B$ 、3. n方向の河床変化がゆるやかである
4. 流れは主に粗度によって決まる。5. 流下方向成分が卓越する。
6. フルード数が小さい

Kalkwijk & Vriendの論文には、平均水位の計算法が示されている。本報告では、これに次の様にして求めた。

各計算点でUの近似値が計算されると、 $S = S_1$ から $S = S_1 + \Delta S$ まで流下する間に失う水位 $\Delta h$ が計算される。 $\Delta S$ 間での流れが近似的に等流であるものとして $S + \Delta S$ の平均水位に $\Delta h$ を加えたものを $S = S_1$ の平均水位とする。

| RUN   | rcm  | Bm   | 弯曲角  | 水路床   | Q l/sec | h cm | $\varphi_0$ |
|-------|------|------|------|-------|---------|------|-------------|
| No. 8 | 0.8  | 0.8  | 90°  | 固定床平坦 | 11.4    | 6.0  | 19.2        |
| No. 5 | 0.8  | 0.8  | 90°  | 固定床斜面 | 12.3    | 7.9  | 10.2        |
| C-13  | 8.54 | 2.08 | 180° | 移動床   | 148.0   | 13.1 | 9.78        |

表-1 No. 5, No. 8 : Rozovski<sup>(2)</sup>, C-13 : 大西, Subhash, Kennedy<sup>(3)</sup>

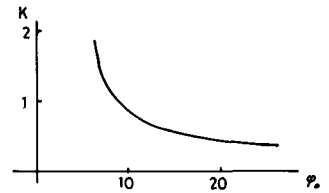


図-2

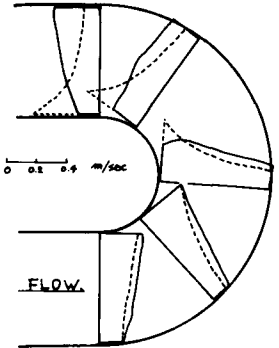


図-3 a

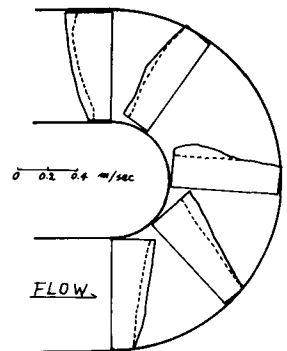


図-3 b

### 3. 流路中が一定で側壁が直立壁の流れ

表-1に示した3例について計算を行つた。いずれの水路も弯曲部は一樣曲率であり、弯曲部の上下流には直線部が接続されている。No.8の水路の弯曲部水路床は横断方向に4.3°の一樣な傾きを持ち、外岸に向かって低下している。直線部の水路床は、水平の部分から徐々に傾き弯曲部に滑らかに接続している。

図-3aにNo.8の流下方向平均流速の实测値と計算値の比較を示す。図によると实测値は弯曲部終端に向かって自由渦から強制渦へ移行しているのに対して、計算値では弯曲部全範囲にわたって自由渦である。これは実際の流れでは側壁で $V=0$ すなわち $K=0$ であるのに対して、数値計算では $K=\text{const.} \neq 0$ としたためと考えられる。 $K=\text{const.}$ とすると、No.8の流れでは $h \approx \text{const.}$ であるから、

$$(9) \text{式右辺第2項} = \frac{\bar{U}^2}{h} K \frac{h^2}{\eta}$$

となり、 $\eta$ が小さいほど流下に伴うエネルギーの増分が大きくなる。かつ流入部では内部側の $U$ が大であるからである。側壁近傍の二次流の構造は十分に解明されていない。そこで、本報告では、 $K$ を仮に(11)式で与えてみた。

$$\left. \begin{aligned} K &= K_0 \sin \eta \pi / B \\ K_0 &= 5 / \kappa \varphi - 15.6 / (\kappa \varphi)^2 + 37.5 / (\kappa \varphi)^3 \end{aligned} \right\} (11)$$

このときの計算値と实测値の比較が図-3bに示されている。図からわかる通り両者は良く一致している。

図-4はNo.5に対する实测値と計算値の比較である。aは $K$ を(7)式で与え、bは $K$ を(11)式で与えた場合である。両図を比較すると、全般的に(11)式を用いた方が計算値は实测値に近く、特に流れが自由渦から強制渦に移行する点についてみれば、 $K$ を(11)式の様に空間的に変化させる必要があることがわかる。

図-5はC-13に対する計算値と实测値の比較である。aは $K$ を(7)式で与え、bは $K$ を(11)式で与えた場合である。図中には河床高が一点鎖線で示されている。又、最大流速の位置が点線で示されている。図によれば、 $K$ に(7)、(11)式のいずれを取っても大きな差はない。これは、C-13では(9)式右辺第1項が第2項に比べて大きく、計算値が $K$ の取り方にそれほど依存しないためである。しかし

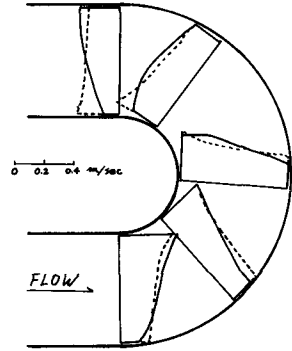


図-4a

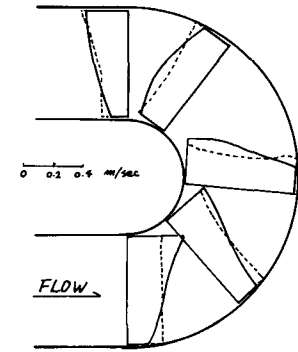


図-4b

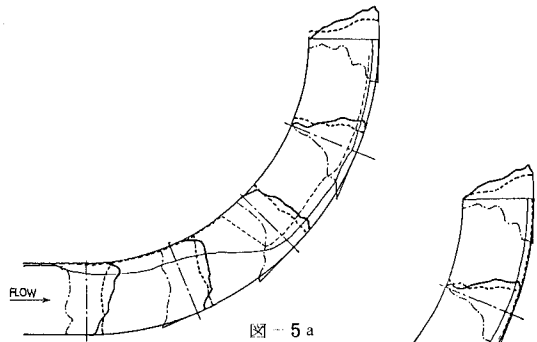


図-5a

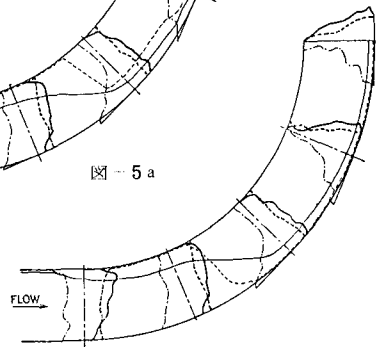


図-5b

流心部が内岸側から外岸側へ移行する経路。  
 及び流速分布形は、(11)式を用いたヤグ (12)式  
 を用いるより幾分実測値に近いのが認められ  
 る。

4. 流路中が変化する場合；石狩川への適用  
 北海道を襲った S50.8 集中豪雨後、北海  
 道開発局では、図-6に示した石狩川の河口か  
 ら5kmの弯曲部前後の1/50の大型モデル  
 を製作し、洪水流に対する種々の水理解析を  
 行っている。本節では、上記実験施設で得ら  
 れた S50.8洪水に対する実測値とKV法に  
 よる計算値との比較を行っている。

計算条件；河口からの距離を $x$ とすると  
 計算区間は $x=0$ から7.5kmの間である。S  
 軸を図-6中に一点鎖線で示す様に河道中心  
 付近に取る。計算点の間隔は、横断方向に10  
 m、縦断方向にはS軸に沿って、22.5~62.5  
 mである。流量は 6800 m<sup>3</sup>/secであり、河道  
 の粗度係数は 0.023である。

計算結果；図-7は、水位及び流速の横断方  
 向分布形の 実測値(実線)と計算値(点線)  
 の比較を行っている。参考のため、図  
 中には河床形(太い実線)も示されている。  
 図-8は、左右岸水位の縦断方向変化の 実測値  
 と計算値の比較を行っている。

これらの図によれば、実測値と計算値の一  
 致は概ね良好であるが、5km地点で両者の違  
 がいが大きくなっている。

この原因を調べるために、S軸の曲率半径  
 の絶対値 $|R_c|$ 及び最深部の標高 $\eta_{max}$ と $x$ の関  
 係をプロットしたものが図-9である。図によ  
 ると $x=5.7$ kmから5kmにかけて $\eta_{max}$ の変  
 化率が大きく、かつ絶対値も大きい。また、  
 この区間は $|R_c|$ が全区間中で最も小さい所  
 となっている。更に、この区間は最深部が右  
 岸から左岸へ移行する所にもなっている。

以上の諸点が、KV法を適用する上に好ま  
 しくないので、図-9に示した適用条件より明  
 らかである。Kalkwijk & Vrienda論文には、

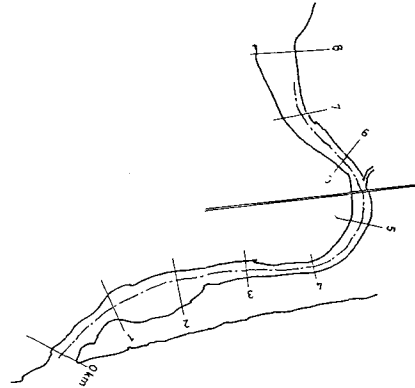


図-6

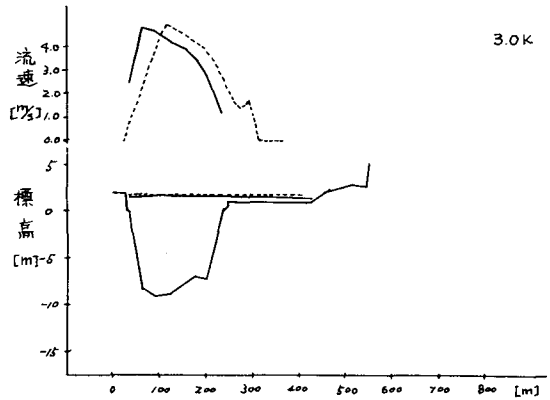


図-7a

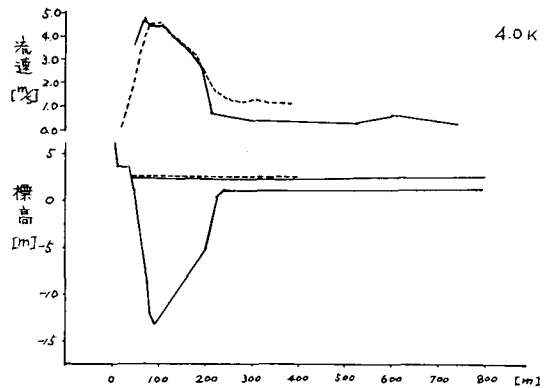


図-7b

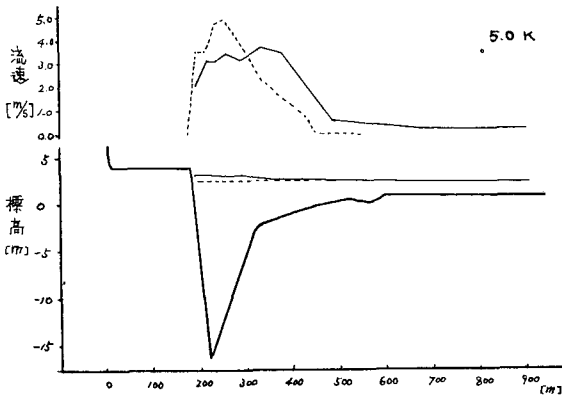


図-7c

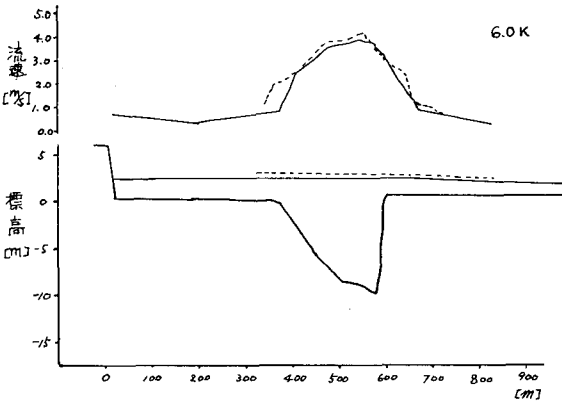


図-7d

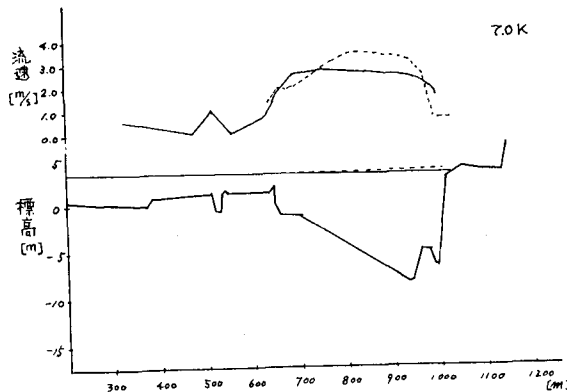


図-7e

適用限界の数値が具体的に示されているが、同区間での  $V$  の計算値が部分的に  $1 \text{ m/sec}$  を越え、 $U$  と  $V$  が同程度の大きさとなり、このため同区間での計算精度が著しく悪くなったものと考える。

### 5. 結論

以上示した様に河床形が急変する場合、3節に示した例では  $K$  を空間的に変えることにより良い結果を得ることが出来る。しかし、4節に示した様に河道形の局所的な変化が大きくなり、 $V$  が  $U$  と同程度の大きさになると計算精度は悪くなる。精度を向上するためには、横断方向の運動方程式について  $V$  に関する項も考慮に入れる必要があると考える。

### 参考文献

(1) Kalkwijk & Vriend ;

"Computation of the flow in shallow river bends,"

Jour. Hydraul. Res. vol. 18, No.4 1980

(2) Rozovskii ;

"Flow of Water in Bends of Open Channels,"  
Israel Program, 1961

(3) Omishi, Jain and Kennedy ;

"Effects of Meandering on Sediment discharge and Friction Factors of Alluvial Streams,"

IIHR Report No.141, 1972.

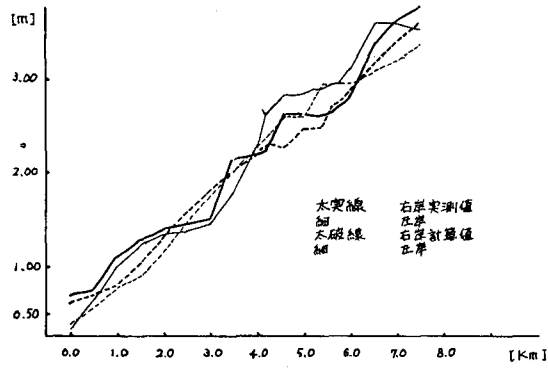


図-8

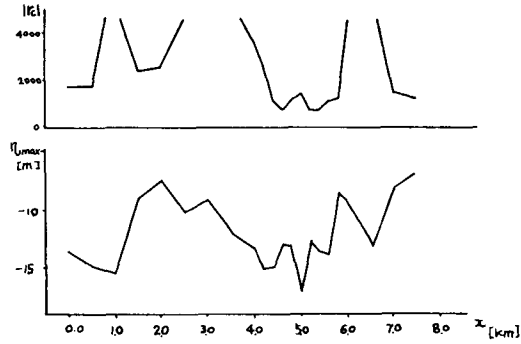


図-9

記号表

|                         |                       |
|-------------------------|-----------------------|
| B : 川中                  | S : 河道中心線             |
| $f_1$ : Uのz方向分布関数       | U : S方向流速             |
| $f_2$ : Vの " " "        | $U_w$ : 摩擦速度          |
| h : 水深                  | V : m方向流速             |
| K : $f_1, f_2$ の深さ方向平均値 | $\alpha$ : 河口からの距離    |
| $K_0$ : " "             | z : 図-1               |
| n : 河道横断方向              | $\eta_{max}$ : 最深部の横高 |
| P : 圧力                  | $\kappa$ : カルマン定数     |
| Q : 流量                  | $\rho$ : 水の密度         |
| r : 曲率半径                | $\tau_s$ : S方向の河床せん断力 |
| $r_c$ : S軸の曲率半径         | $\varphi_0$ : 流速係数    |